

144 (194)

РОССИЙСКАЯ АКАДЕМИЯ НАУК

РАДИОТЕХНИКА и ЭЛЕКТРОНИКА

(ОТДЕЛЬНЫЙ ОТТИСК)

МОСКВА

N1, 1995

5. Кац Л. И., Синицын Е. В., Сомов А. Ю.//ПТЭ. 1978. № 2. С. 171.
6. Райзэр М. Д., Цопп Л. Э.//РЭ. 1976. Т. 20. № 8. С. 1641.
7. Синицын Н. И., Зайцев Б. Д., Федоренко В. А., Клюев Е. Е. Детектор мощных одиночных и редкоповторяющихся СВЧ-радиоимпульсов: А. с. 1290188 СССР//Б. И. 1987. № 6. С. 165.
8. Gulyaev Yu. V., Zaitsev B. D., Kalinin V. Yu. et al.//Proc. Int. Symp. «Surface Waves in Solids and Layered Structures». Novosibirsk, 1986. С. 347.
9. Зайцев Б. Д., Калинин В. Ю., Синицын Н. И. Измеритель пространственного распределения электрических полей одиночных и редкоповторяющихся СВЧ-радиоимпульсов: А. с. 1283670 СССР//Б. И. 1987. № 2. С. 5.
10. Дъелесан Э., Руайе Д. Упругие волны в твердых телах. М.: Наука, 1982.
11. Зайцев Б. Д., Калинин В. Ю., Магда И. И. и др.//ПТЭ. 1993. № 3. С. 133.

Поступила в редакцию
11.02.94

УДК 621.391

© 1995 г. А. П. Трифонов, С. П. Алексеенко

КВАЗИПРАВДОПОДОБНАЯ ОЦЕНКА ПАРАМЕТРОВ СПЕКТРА МОЩНОСТИ СЛУЧАЙНОГО СИГНАЛА

Найдены потери в точности оценок за счет различия в форме спектров мощности ожидаемого и принимаемого сигналов.

В работах [1—3] исследованы оценки максимального правдоподобия (ОМП) параметров $\vec{\vartheta}_0 = \|\vec{\vartheta}_1, \dots, \vec{\vartheta}_p\|$ спектра мощности (СМ) центрированного стационарного гауссоваского случайного сигнала $s(t)$, наблюдаемого на фоне гауссоваского белого шума с односторонней спектральной плотностью N_0 . При этом предполагали, что СМ $G_0(\omega, \vec{\vartheta}_0)$ и корреляционная функция $B_0(\tau, \vec{\vartheta}_0) = \langle s(t)s(t+\tau) \rangle$ случайного сигнала априори известны с точностью до оцениваемых параметров $\vec{\vartheta}_0$. В действительности, форма СМ $G(\omega, \vec{\vartheta})$, которая используется при синтезе ОМП, может отличаться от реальной формы СМ $G_0(\omega, \vec{\vartheta})$ полезного сигнала. В связи с этим представляет интерес определить степень ухудшения качества оценок СМ за счет отличия СМ $G_0(\omega, \vec{\vartheta}_0)$ сигнала, поступающего на вход приемника, от СМ $G(\omega, \vec{\vartheta})$ ожидаемого сигнала, для которого синтезирован алгоритм ОМП. Введем обозначение

$$(1) \quad B(\tau, \vec{\vartheta}) = \frac{1}{2\pi} \int_{-\infty}^{+\infty} G(\omega, \vec{\vartheta}) \exp(j\omega\tau) d\omega$$

— корреляционная функция ожидаемого сигнала, причем в общем случае $B(\tau, \vec{\vartheta}) \neq B_0(\tau, \vec{\vartheta})$.

Для стационарного гауссоваского случайного сигнала с корреляционной функцией (1) и принимаемого на фоне белого шума логарифм функционала отношения правдоподобия (ФОП) имеет вид [2]

$$(2) \quad L(\vec{\vartheta}) = \frac{1}{N_0} \int_0^T \int_0^T x(t_1) x(t_2) Q(t_1, t_2, \vec{\vartheta}) dt_1 dt_2 - \\ - \frac{1}{2} \int_0^1 d\chi \int_0^T \tilde{Q}(t, t, \vec{\vartheta}, \chi) dt,$$

где $x(t)$ — реализация суммы сигнала и шума, наблюдаемая на интервале времени $[0; T]$, $Q(t_1, t_2, \vec{\vartheta}) = \tilde{Q}(t_1, t_2, \vec{\vartheta}, \chi = 1)$, а $\tilde{Q}(t_1, t_2, \vec{\vartheta}, \chi)$ определяется из решения интегрального уравнения

$$(3) \quad \frac{N_0}{2} \tilde{Q}(t_1, t_2, \vec{\vartheta}, \chi) + \chi \int_0^T \tilde{Q}(t_1, t, \vec{\vartheta}, \chi) B(t - t_2, \vec{\vartheta}) dt = B(t_1 - t_2, \vec{\vartheta}).$$

Поскольку реализация наблюдаемых данных $x(t)$ в (2) содержит сигнал $s(t)$ со спектром мощности $G_0(\omega, \vec{\vartheta}_0) \neq G(\omega, \vec{\vartheta}_0)$, оценка $\vec{\vartheta}$ параметров $\vec{\vartheta}_0$, определяемая как положение абсолютного (наибольшего) максимума функции (2), не является ОМП. Эту оценку можно назвать квазиправдоподобной (КПО) [4], поскольку она совпадает с ОМП при $G_0(\omega, \vec{\vartheta}) = G(\omega, \vec{\vartheta})$ и соответственно при $B_0(\tau, \vec{\vartheta}) = B(\tau, \vec{\vartheta})$. Для определения характеристик КПО $\vec{\vartheta}$ параметров $\vec{\vartheta}_0$ СМ $G_0(\omega, \vec{\vartheta}_0)$ наблюдаемого сигнала представим (2) как сумму [1, 3] $L(\vec{\vartheta}) = S(\vec{\vartheta}) + N(\vec{\vartheta})$, где $S(\vec{\vartheta}) = \langle L(\vec{\vartheta}) \rangle$ — сигнальная функция, а $N(\vec{\vartheta}) = L(\vec{\vartheta}) - \langle L(\vec{\vartheta}) \rangle$ — шумовая. Полагаем далее, что время наблюдения достаточно велико, при этом

$$(4) \quad \mu_m = T\Omega_m / 2\pi \gg 1,$$

$$\text{где } \Omega_m = \min \left\{ \min_{\vec{\vartheta}} \int_{-\infty}^{+\infty} G_0^2(\omega, \vec{\vartheta}_0) d\omega [2 \max_{\omega} G_0^2(\omega, \vec{\vartheta}_0)]^{-1}; \right.$$

$$\left. \min_{\vec{\vartheta}} \int_{-\infty}^{+\infty} G^2(\omega, \vec{\vartheta}) d\omega [2 \max_{\omega} G^2(\omega, \vec{\vartheta})]^{-1} \right\}$$

— минимальная эквивалентная полоса частот СМ действительного и ожидаемого сигналов.

При выполнении (4), решая уравнение (3) при помощи преобразования Фурье, находим сигнальную функцию

$$(5) \quad S(\vec{\vartheta}) = \frac{T}{4\pi} \int_{-\infty}^{+\infty} \left\{ \frac{[1 + \rho_0(\omega, \vec{\vartheta})] \rho(\omega, \vec{\vartheta})}{1 + \rho(\omega, \vec{\vartheta})} - \ln [1 + \rho(\omega, \vec{\vartheta})] \right\} d\omega$$

и два первых момента шумовой функции

$$(6) \quad \langle N(\vec{\vartheta}) \rangle = 0, B_N(\vec{\vartheta}_1, \vec{\vartheta}_2) = \langle N(\vec{\vartheta}_1) N(\vec{\vartheta}_2) \rangle =$$

$$= \frac{T}{4\pi} \int_{-\infty}^{+\infty} \frac{[1 + \rho_0(\omega, \vec{\vartheta}_0)]^2 \rho(\omega, \vec{\vartheta}_1) \rho(\omega, \vec{\vartheta}_2)}{[1 + \rho(\omega, \vec{\vartheta}_1)][1 + \rho(\omega, \vec{\vartheta}_2)]} d\omega.$$

В (5), (6) использованы обозначения $\rho_0(\omega, \vec{\vartheta}_0) = 2G_0(\omega, \vec{\vartheta}_0)/N_0$, $\rho(\omega, \vec{\vartheta}) = 2G(\omega, \vec{\vartheta})/N_0$.

Так как по определению КПО функция $L(\vec{\vartheta})$ при $\vec{\vartheta} = \hat{\vec{\vartheta}}$ обращается в абсолютный максимум, КПО $\vec{\vartheta}$ является решением системы уравнений

$$(7) \quad \frac{\partial}{\partial \vec{\vartheta}_i} [S(\vec{\vartheta}) + N(\vec{\vartheta})]_{\vec{\vartheta}} = 0, i = \overline{1, p}.$$

При этом при отсутствии шумовой функции ($N(\vec{\vartheta}) \equiv 0$) функция (3) достигает максимума в некоторой точке $\vec{\vartheta} \neq \vec{\vartheta}_0$, определяемой из системы уравнений

$$(8) \quad \left[\frac{\partial S(\vec{\vartheta})}{\partial \vec{\vartheta}_i} \right]_{\vec{\vartheta}} = \frac{T}{4\pi} \left\{ \int_{-\infty}^{+\infty} \frac{\rho_0(\omega, \vec{\vartheta}_0) - \rho(\omega, \vec{\vartheta})}{[1 + \rho(\omega, \vec{\vartheta})]^2} \frac{\partial \rho(\omega, \vec{\vartheta})}{\partial \vec{\vartheta}_i} d\omega \right\}_{\vec{\vartheta}} = 0, i = \overline{1, p}.$$

Поскольку $\max S(\vec{\vartheta}) \leq S(\vec{\vartheta}_0)$, отношение сигнал/шум (ОСШ) получаем в виде [3] $z^2 = S^2(\vec{\vartheta})/B_N(\vec{\vartheta}, \vec{\vartheta}_0)$, откуда следует, что ОСШ возрастает с увеличением времени наблюдения T . Полагая ОСШ достаточно большим, для решения системы уравнений (7) воспользуемся методом малого параметра [3], в качестве которого используем величину $1/z$. Ограничиваюсь рассмотрением первого приближения, находим смещение (систематическую ошибку) КПО i -го параметра

$$(9) \quad b_i = \langle \vec{\vartheta}_i - \vec{\vartheta}_{0i} \rangle = \vec{\vartheta}_i - \vec{\vartheta}_{0i}$$

и корреляционную матрицу КПО

$$(10) \quad K = \|(\hat{\vec{\vartheta}}_i \langle \vec{\vartheta}_j \rangle) (\hat{\vec{\vartheta}}_k - \langle \vec{\vartheta}_k \rangle)\| = S^{-1} B (S^T)^{-1},$$

где T означает транспонирование,

$$(11) \quad S = \left\| - \left[\frac{\partial^2 S(\vec{\vartheta})}{\partial \vec{\vartheta}_i \partial \vec{\vartheta}_k} \right]_{\vec{\vartheta}} \right\| = \frac{T}{4\pi} \left\| \int_{-\infty}^{+\infty} \frac{1 + 2\rho_0(\omega, \vec{\vartheta}_0) - \rho(\omega, \vec{\vartheta})}{[1 + \rho(\omega, \vec{\vartheta})]^3} \times \right. \\ \times \frac{\partial \rho(\omega, \vec{\vartheta})}{\partial \vec{\vartheta}_i} \frac{\partial \rho(\omega, \vec{\vartheta})}{\partial \vec{\vartheta}_k} d\omega + \int_{-\infty}^{+\infty} \frac{\rho_0(\omega, \vec{\vartheta}_0) - \rho(\omega, \vec{\vartheta})}{[1 + \rho(\omega, \vec{\vartheta})]^2} \times \\ \times \left. \frac{\partial^2 \rho(\omega, \vec{\vartheta})}{\partial \vec{\vartheta}_i \partial \vec{\vartheta}_k} d\omega \right\|_{\vec{\vartheta}}, \\ B = \left\| \left[\frac{\partial^2 B_N(\vec{\vartheta}_1, \vec{\vartheta}_2)}{\partial \vec{\vartheta}_i \partial \vec{\vartheta}_k} \right]_{\vec{\vartheta}} \right\| = \frac{T}{4\pi} \left\| \left\{ \int_{-\infty}^{+\infty} \frac{[1 + \rho_0(\omega, \vec{\vartheta}_0)]^2}{[1 + \rho(\omega, \vec{\vartheta})]^4} \times \right. \right. \\ \left. \left. \dots \times \frac{\partial \rho(\omega, \vec{\vartheta})}{\partial \vec{\vartheta}_i} \frac{\partial \rho(\omega, \vec{\vartheta})}{\partial \vec{\vartheta}_k} d\omega \right\}_{\vec{\vartheta}} \right\|, i, k = \overline{1, p}.$$

В общем случае КПО смещенная, тем не менее, согласно (10), (11) дисперсия КПО убывает с ростом времени наблюдения как $1/T$, аналогично дисперсии ОМП [1–3].

В частном случае, когда $G_0(\omega, \vec{\vartheta}) = G(\omega, \vec{\vartheta})$ и соответственно $\rho_0(\omega, \vec{\vartheta}) = \rho(\omega, \vec{\vartheta})$, КПО переходит в ОМП и выражения (9), (10) могут быть переписаны в виде

$$(12) \quad b_i = 0, K = \frac{4\pi}{T} \left\| \left\{ \int_{-\infty}^{+\infty} \frac{\partial \rho_0(\omega, \vec{\vartheta})}{\partial \vec{\vartheta}_i} \frac{\partial \rho_0(\omega, \vec{\vartheta})}{\partial \vec{\vartheta}_k} \times \right. \right. \\ \left. \left. \times [1 + \rho_0(\omega, \vec{\vartheta})]^{-2} d\omega \right\}_{\vec{\vartheta}_0} \right\|^{-1}.$$

Последние выражения совпадают с характеристиками совместно-эффективных оценок параметров СМ случайного сигнала [2]. В частности, при $p=1$ из (12) получаем результат [1, 3].

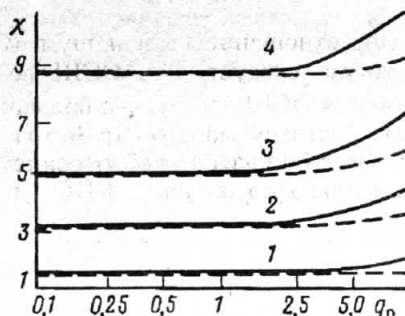
Сопоставление (9), (11) и (12) позволяет определить степень ухудшения качества оценок за счет различия формы СМ ожидаемого и принимаемого сигналов.

В качестве примера рассмотрим оценку центральной частоты v узкополосного случайного сигнала, предполагаемый СМ которого имеет вид [5]

$$(13) \quad G(\omega, v, \gamma, \Omega) = \frac{\gamma}{2} \left[g\left(\frac{v+\omega}{\Omega}\right) + g\left(\frac{v-\omega}{\Omega}\right) \right],$$

где γ — максимальная величина СМ, Ω — эквивалентная полоса частот, а функция $g(\cdot)$ описывает форму СМ и удовлетворяет условиям

$$(14) \quad g(x) = g(-x) \geq 0, \max g(x) = 1, \int_{-\infty}^{+\infty} g^2(x) dx = 1.$$



Проигрыш в точности оценки частоты

Так как необходимо оценить лишь частоту v , параметры γ и Ω являются неинформативными [6], а КПО v определяется соотношением

$$(15) \quad \hat{v} = \arg \sup_{\gamma, \Omega} L(v), \quad L(v) = \sup_{\gamma, \Omega} L(v, \gamma, \Omega).$$

Здесь $L(v, \gamma, \Omega)$ — логарифм ФОП (3), найденный для ожидаемого случайного сигнала, который обладает СМ (13). Аналогично (13) СМ принимаемого сигнала запишем как

$$(16) \quad G_0(\omega, v_0, \gamma_0, \Omega_0) = \frac{\gamma_0}{2} \left[g_0 \left(\frac{v_0 + \omega}{\Omega_0} \right) + g_0 \left(\frac{v_0 - \omega}{\Omega_0} \right) \right],$$

где функции $g_0(\cdot)$ в общем случае отличается от $g(\cdot)$ в (13), но удовлетворяет условиям (14). Подставляя (13) и (16) в (8) и учитывая (14), получаем $\tilde{v} = v_0$ и, следовательно, КПО центральной частоты будет несмещенной. Для определения дисперсии $D(\hat{v})$ КПО \hat{v} (15) частоты надо найти значения $\tilde{\gamma}$ и $\tilde{\Omega}$ из (8) и затем получить элемент матрицы (10), лежащий на пересечении первых строк и столбца. Соответственно дисперсию $D(v_m)$ ОМП v_m центральной частоты получаем, обращая матрицу (12) для СМ (16). Полагаем далее, что форма СМ ожидаемого и принимаемого сигналов описывается полиномами Баттервортта [7]

$$(17) \quad \beta_n(x) = [1 + (\alpha_n x)^{2n}]^{-1},$$

где n — степень полинома, α_n — нормировочный коэффициент, определяемый из условия нормировки вида (14) $\int_{-\infty}^{+\infty} \beta_n^2(x) dx = 1$.

Функция (17) позволяет аппроксимировать форму СМ широкого класса случайных сигналов [7].

На рисунке приведены кривые зависимости проигрыша $\chi = D(\hat{v})/D(v_m)$ в точности КПО по сравнению с ОМП от отношения спектральных плотностей сигнала и шума $q_0 = \gamma_0/N_0$. Сплошные кривые соответствуют зависимостям $\chi(q_0)$, когда форма СМ ожидаемого сигнала описывается полиномом Баттервортта со степенью n , т. е. $g(x) = \beta_n(x)$, а принимаемый сигнал имеет форму СМ, описываемую полиномом Баттервортта первой степени, т. е. $g_0(x) = \beta_1(x) = [1 + (\pi x/2)]^{-1}$. Штриховые кривые соответствуют случаю, когда $g(x) = \beta_1(x)$, а $g_0(x) = \beta_n(x)$. Кривые 1—4 рассчитаны при $n = 2; 4; 6; 10$.

Как следует из рисунка, проигрыш в точности КПО может быть значительным, причем при не слишком больших q_0 он практически от q_0 не зависит. Отметим также, что проигрыш несколько уменьшается, если измеритель синтезирован

для ожидаемого СМ, фронты которого, т. е. участки спада СМ, более пологие, чем у СМ принимаемого сигнала.

Приведенные результаты получены при финансовой поддержке Российского фонда фундаментальных исследований.

СПИСОК ЛИТЕРАТУРЫ

1. Куликов Е. И. Методы измерения случайных процессов. М.: Радио и связь, 1986.
2. Ван Трис Г. Теория обнаружения, оценок и модуляции. Т. 3. М.: Сов. радио, 1977.
3. Куликов Е. И., Трифонов А. П. Оценка параметров сигналов на фоне помех. М.: Сов. радио, 1978.
4. Мудров В. И., Кушко В. Л. Методы обработки измерений. М.: Радио и связь, 1983.
5. Тихонов В. И. Статистическая радиотехника. М.: Радио и связь, 1982.
6. Шинаков Ю. С. // РЭ. 1974. Т. 19. № 3. С. 542.
7. Фомин А. Ф., Хорошавин А. И., Щелухин О. И. Аналогичные и цифровые синхронно-фазовые измерители и демодуляторы. М.: Радио и связь, 1987.

Поступила в редакцию
05.05.94